



تأثیر تغییر اقلیم بر تولید سیبزمینی (*Solanum tuberosum L.*) در منطقه فریدون شهر اصفهان

I- رشد و نمو

ظهراب ادایی^{1*} و محمود رضا تدین²

تاریخ دریافت: 1394/11/23

تاریخ پذیرش: 1395/04/27

ادایی، ظا، و تدین، م.ر. 1396. تأثیر تغییر اقلیم بر تولید سیبزمینی (*Solanum tuberosum L.*) در منطقه فریدون شهر اصفهان I- رشد و نمو. بوم شناسی کشاورزی، 9(4): 1117-1135.

چکیده

هدف از این مطالعه شبیه‌سازی اثرات تغییر اقلیم بر مراحل فنولوژیکی، شاخص سطح برگ، عملکرد زیست‌توده و غده سیبزمینی (*Solanum tuberosum L.*) در شرایط تغییر اقلیم آینده منطقه فریدون شهر اصفهان بود. برای این منظور پیش‌بینی دو مدل گردش عمومی HadCM₃ و IPCM₄ تحت سه سناریوی A1B، A₂ و B₁ در سال‌های 2030، 2060 و 2090 به کار گرفته شد. برای شبیه‌سازی پارامترهای اقلیمی از مدل LARS-WG و برای شبیه‌سازی مراحل رشد سیبزمینی از مدل SUBSTOR-Potato و نرم‌افزار DSSAT استفاده گردید. نتایج ارزیابی مدل SUBSTOR-potato نشان داد مدل برآورد مناسبی (RMSE≤10) برای پیش‌بینی صفات عملکرد غده، حداکثر شاخص سطح برگ، روز تا گله‌دهی و روز تا رسیدگی فیزیولوژیک گیاه سیبزمینی در شرایط آب و هوایی فریدون شهر دارای می‌باشد. نتایج شبیه‌سازی نشان داد که در تمام سناریوهای مورد بررسی، رشد و نمو سیبزمینی تحت تأثیر پذیرده تغییر اقلیم در آینده قرار خواهد گرفت و عملکرد آن نسبت به سال مبنا کاهش خواهد یافت. به طوری که بیشترین کاهش عملکرد غده در سناریوی A₂ و در سال 2090 برای هر دو مدل گردش عمومی HadCM₃ و IPCM₄ شبیه‌سازی شد. میزان کاهش عملکرد غده در سناریوی B₁ نسبت به دو سناریوی دیگر کمتر بود. گیاه سیبزمینی در منطقه فریدون شهر در شرایط تغییر اقلیم آینده نسبت به شرایط فعلی کاهش خواهد یافت که دلیل اصلی این کاهش، افزایش درجه حرارت (نسبت به سناریوهای مختلف بین 1/1 تا 5/5 درجه سانتی-گراد) و در نتیجه افزایش سرعت رشد گیاه در شرایط تغییر اقلیم آینده می‌باشد.

واژه‌های کلیدی: سناریوهای انتشار، شبیه‌سازی عملکرد، مدل LARS-WG، مراحل فنولوژیکی

تغییر اقلیم آینده با تأثیر بر خصوصیات فیزیولوژیکی و فنولوژیکی گیاهان، رشد و نمو گیاهان را تحت تأثیر قرار داده و در نهایت مقدار عملکرد گیاهان را نسبت به شرایط کنونی تغییر خواهد داد. مرا و همکاران (Mera et al., 2006) تأیید کردند که در شرایط تغییر اقلیم در آینده، افزایش درجه حرارت بیشترین تأثیر را بر مرحله گله‌دهی گیاهان گذاشته و با کاهش درصد و دوره تلقیح گل، منجر به کاهش عملکرد گیاهان می‌شود. ایشان همچنین اشاره کردند که افزایش دو درجه دما باعث کاهش دوره گله‌دهی در گیاه ذرت (*Zea mays L.*) از 10 به 8 روز شده که تأثیر بهسزایی در کاهش تشکیل تعداد دانه و

مقدمه

در سال‌های اخیر تغییرات قابل توجهی در دما و بارندگی در بعد جهانی و منطقه‌ای، از لحظه مقدار و زمان وقوع به عنوان تغییر اقلیم اتفاق افتداده است که به تبع آن اثرات مختلفی بر نهاده‌ها و تولیدات کشاورزی گذاشته است (Wolf et al., 2010). افزایش دما در شرایط

1 و 2- به ترتیب استادیار، گروه کشاورزی، دانشکده کشاورزی، دانشگاه پیام نور و دانشیار، گروه زراعت، دانشکده کشاورزی، دانشگاه شهرکرد

(Email: Z_adavi@pnu.ac.ir) - نویسنده مسئول:

احتمالی اقلیمی در این مناطق اثرات قابل ملاحظه‌ای بر سیستم‌های تولید کشاورزی به همراه داشته باشد (Fischer et al., 1994). با این حال، علی‌رغم این که اغلب مناطق خشک و نیمه‌خشک جهان در کشورهای در حال توسعه واقع شده‌اند، تحقیقات و پژوهش‌های علمی مربوط به اثرات تغییر اقلیم در این مناطق بسیار محدود می‌باشد.

سیب زمینی بعد از گندم (*Triticum aestivum* L.), برنج (*Oryza sativa* L.) و ذرت، بیشترین سهم را در میزان تولید محصولات غذایی دارد و نقش مهمی در تغذیه و سبد غذایی جمعیت جهان دارد (Fabeiro et al., 2001) و در ایران بعد از گندم رتبه دوم را به خود اختصاص داده است (Sadr Gaen et al., 2011). متوسط سرانه سیب زمینی در ایران، بیش از 50 کیلوگرم در سال است و مصرف آن روز به روز در حال افزایش است و با توجه به روند افزایش جمعیت، نیاز به تولید بیشتر این محصول با در نظر گرفتن شرایط کشور اجتناب ناپذیر است (Afzali Nya, 2006). مجموع سطح زیر کشت سیب زمینی در سال زراعی 1392 - 1393 دراستان اصفهان حدود 17600 هکتار گزارش شده است و تقریباً 440 هزار تن از تولید سیب زمینی کشور را شامل می‌شود (Adavi, 2014) و منطقه فریدون شهر با سطح زیر کشت بیش از 2000 هکتار و میانگین عملکرد غده 22 تن در هکتار، یکی از مهم‌ترین مناطق مستعد کشت سیب زمینی در کشور می‌باشد (Adavi, 2014). هدف از این پژوهش بررسی خصوصیات رشد، فنولوژی و عملکرد غده سیب زمینی تحت تأثیر شرایط اقلیمی آینده برای منطقه فریدون شهر به عنوان قطب تولید سیب زمینی در استان اصفهان بود.

مواد و روش‌ها

مدل اقلیمی

برای بررسی شرایط اقلیمی آینده در منطقه فریدون شهر از پیش‌بینی دو مدل گردش عمومی^۱ (HadCM3^۲) (Mitchel et al., 1995) و^۳ (IPCM4^۴) (Stratonovitch & Semenov, 2010) بر اساس سه سناریوی SRES-A1B و SRES-B1^۵ (Olesen et al.,) در سه دوره زمانی 2015 میلادی تا 2045 میلادی (2030) 2076 میلادی، 2046 میلادی تا 2075 میلادی (2060 میلادی) و

عملکرد ذرت داشته است. در مطالعه هولدن و همکاران (Holden et al., 2003) نیز بر اساس پیش‌بینی مدل گردش عمومی HadCM3 با فرض سناریوی تغییر اقلیم بر مبنای افزایش 1/6 درجه‌سانتی‌گراد اثر تغییرات اقلیمی بر عملکرد غده سیب زمینی (*Solanum tuberosum* L.) برای دوره زمانی 2055 و 2075 شبیه‌سازی، کاهش عملکرد سیب زمینی تحت شرایط تغییر اقلیم آینده را گزارش نمودند. با وجودی که در سال‌های اخیر، آزمایش‌های انجماد شده در محیط‌های کنترل شده اطلاعات زیادی را در مورد تأثیر افزایش درجه حرارت و یا غلظت دی‌اسید کرین بر فرآیندهای رشد و نمو گیاهان فراهم کرده است، ولی این نوع مطالعات بسیار پر هزینه بوده و اجرای آن‌ها به وجود ابزار دقیق وابسته است (Koocheki et al., 2002). توسعه روش‌های مدل‌سازی جایگزینی مناسب و کم‌هزینه برای این نوع مطالعات است که در حال حاضر مورد توجه محققین قرار گرفته است. مدل‌های گردش عمومی^۶ ابزاری مفید برای پیش‌بینی شرایط اقلیمی آینده بوده و داده‌های لازم برای اجرای مدل‌های شبیه‌سازی رشد و نمو محصولات زراعی فراهم می‌سازند (Jones et al., 2003). با این حال، استفاده از این مدل‌ها تنها راحل موجود جهت مطالعه اثرات تغییر اقلیم در مقیاس منطقه‌ای و جهانی می‌باشد (Krishnan et al., 2007). رشد و نمو گیاهان زراعی تحت تأثیر تغییرات اقلیمی می‌تواند به وسیله مدل‌هایی چون WOFOST، DSSAT، APSIM، SUCROS و غیره مورد ارزیابی قرار گیرد (Reidsma et al., 2010). در این مدل‌ها نه تنها از تعداد زیادی پارامتر (برای گیاه و خاک) و توابع شبیه‌سازی استفاده شده است، بلکه روابط و مکانیزم‌های پیچیده به کار برده شده در این مدل‌ها برای کمی‌سازی رشد و نمو، چگونگی تفسیر خروجی آن‌ها را در برخی از موارد با مشکل مواجه ساخته است (Goudriaan & Van Laar, 1994).

دستیابی به اطلاعات دقیق‌تر در مورد پدیده تغییر اقلیم در ایران، مستلزم انجام مطالعات گسترده در مقیاس منطقه‌ای و پیش‌بینی واکنش سیستم‌های تولید کشاورزی هر منطقه به این تغییرات می‌باشد (Rahmani et al., 2016). اقلیم‌های خشک و نیمه‌خشک که کشور ما نیز در گروه آن‌ها قرار دارد، به دلیل ساختار اکولوژیکی خاص خود، بیش از سایر اقلیم‌ها نسبت به تغییرات محیطی حساس بوده و آسیب‌پذیری بیشتری دارند. بنابراین، به‌نظر می‌رسد که وقوع تغییرات

2- United Kingdom Met Office Hadley Center

3- Institute Pierre Simon Laplace

1- General circulation model

بر اساس ضرایب ژنتیکی¹ که به عنوان یکی از ورودی‌های مدل می‌باشد، تنظیم می‌شوند (Jones et al., 2003; Hoogenboom et al., 2010).

واسنجی² و اعتبارسنجی³ مدل رشد سبب زمینی
مدل SUBSTOR-Potato با استفاده از داده‌های حاصل از آزمایشی دو ساله که در سال زراعی 1392-1391 و 1393-1392 در ناحیه فردیون شهر واقع در استان اصفهان به صورت کرت‌های خرد شده بر پایه طرح بلوک‌های کامل تصادفی در سه تکرار انجام شده بود، واسنجی و تعیین اعتبارش. در این آزمایش فاکتور اصلی شامل تاریخ کاشت در سه سطح (15 اردیبهشت، 1 خرداد و 15 خرداد) در کرت‌های اصلی و فاکتور فرعی شامل ارقام سبب زمینی در سه سطح (آریندا، سانته و آگریا، که به ترتیب زودرس، میانرس و دیررس می‌باشند) در کرت‌های فرعی بودند. عملیات کاشت، داشت و برداشت در دو سال آزمایش به صورت مشابه انجام گرفت. برای واستنجی مدل از داده‌های سال اول و برای اعتبارسنجی مدل از داده‌های سال دوم آزمایش استفاده شد. برای اجرای آزمایش هر کرت آزمایش شامل شش خط کاشت، به طول پنج متر، فاصله بین ردیفها 75 سانتی‌متر و فاصله بین بوته‌ها روی ردیف 25 سانتی‌متر (تراکم بوته 5/33 در متر مربع) در نظر گرفته شد. برای کاشت ارقام سبب زمینی از غده‌های بذری کلاس E به قطر 35 تا 55 میلی‌متر استفاده شد. میزان کود مصرفی نیز بر اساس آنالیز خاک محل آزمایش و توصیه آزمایشگاه مقدار 350 کیلوگرم اوره در هکتار و 100 کیلوگرم سپر فسفات تریپل به خاک اضافه گردید. نیمی از کود مصرفی در زمان کاشت و نیم دیگر در دوره گلدهی به خاک اضافه گردید. اولین آبیاری پس از کاشت و آبیاری‌های بعدی هر هفت روز یک بار و به صورت بارانی صورت گرفت. برای اندازه‌گیری شاخص سطح برگ از دستگاه Leaf Area Meter مدل Licor استفاده شد. حجم آب مصرفی برای ارقام آریندا، سانته و آگریا با توجه به طول دوره رشد هر رقم زودرس، میانرس و دیررس به ترتیب حدود 12، 14 و 16 هزار متر مکعب در هکتار بود. در طول فصل رشد، وجین علف هرز در سه نوبت با دست انجام گرفت.

میلادی تا 2105 میلادی (2090 میلادی) استفاده شد. دوره مبنا در این تحقیق از سال 1988 میلادی تا 2012 میلادی (سال 2012 میلادی) در نظر گرفته شد. لازم به ذکر است در هر دوره زمانی، داده‌های اقلیمی یک سال نمونه که برای هر دوره در داخل پارانتز نشان داده شده است، استفاده گردید. همچنین برای تهیه پارامترهای اقلیمی به صورت روزانه از مدل LARS-WG استفاده شد. شبیه‌سازی شرایط اقلیمی و تعیین اعتبار و نتایج آن در مطالعه اداوی (Adavi, 2014) گزارش شده است.

مدل گیاهی مورد استفاده

به منظور شبیه‌سازی پارامترهای مختلف رشد و نمو سبب زمینی، از مدل SUBSTOR-Potato که یکی از 16 مدل تعییه شده در نرم-افزار DSSAT می‌باشد، استفاده گردید (Jones et al., 2003). مدل های موجود در DSSAT مدل‌های پیش‌بینی دینامیک هستند و بر اساس فعالیت‌های فیزیولوژیکی گیاه طراحی شده‌اند. این مدل‌ها در محدوده‌ای از شرایط آب و هوایی، خاک، و شرایط مختلف مدیریتی قابل اجرا می‌باشند (Goudriaan & Van Laar, 1994). در این تحقیق از نسخه 4/5 نرم‌افزار DSSAT استفاده شده است. مدل SUBSTOR-Potato برای شبیه‌سازی اثر رقم، تراکم کاشت، آب و هوا، رطوبت خاک و نیتروژن بر رشد، نمو و عملکرد محصول در شرایط پتانسیل و محدودیت آب و عناصر غذایی طراحی شده است. این مدل یک مدل مکانیستیکی می‌باشد که بر اساس استانداردهای FORTRAN77 طراحی و به سهولت در هر کامپیوتری قابل اجرا است (Hodges & Ritchie, 1991). ورودی‌های این مدل شامل عملیات مدیریتی در مزرعه (اختلافات ارقام، نوع و خصوصیات خاک و اطلاعات آب و هوایی) پارامترهای مدیریتی (تاریخ کاشت، تراکم، عمق کاشت، فواصل بوته، رطوبت و حاصلخیزی خاک) و جزئیات برداشت می‌باشد. پارامترهای مورد نیاز برای رقم نیز شامل تعداد برگ، شاخه جانبی و مراحل فولوژیکی می‌باشد.

پارامترهای تابش خورشیدی، حداقل و حداکثر دمای روزانه، سرعت باد و بارندگی روزانه برای شرایط اقلیمی و همچنین وزن مخصوص ظاهری خاک، درصد رس، شن و ماسه خاک، میزان عناصر خاک، ظرفیت مزرعه‌ای، نقطه پژمردگی و میزان رطوبت خاک برای داده‌های خاک مورد نیاز است. در این مدل ارقام مختلف سبب زمینی دارای واکنش‌های متفاوتی به تغییرات فاکتورهای محیطی هستند و

1- Genetic Coefficients

2- Calibration

3- Validation

TC نیاز به آزمایشات جداگانه و گسترهای بود و داده‌های پیش فرض سایر ارقام نیز نتیجه مطلوبی نداشتند و خطای زیادی ایجاد می‌کرد. بنابراین برای محاسبه این دو ضریب از یک رقمی که ضرایب آن به دست آمده و در نرمافزار وجود داشت استفاده گردید و ضرایب رقم مذکور با تغییرات جزئی مورد استفاده قرار گرفت. نظر به این که در بخش واسنجی مدل هدف تغییر ضرایب مدل و به حداقل رساندن خطای شبیه‌سازی می‌باشد، بنابراین تغییرات دو ضریب مذکور را تا جایی ادامه دادیم تا کمترین خطا بین داده‌های شبیه‌سازی شده و اندازه‌گیری شده برای صفات مورد مطالعه به دست آید. ضرایب ژنتیکی مورد استفاده برای ارقام مختلف مورد استفاده در مدل در جدول 1 ارائه شده است.

به منظور واسنجی مدل ضرایب ژنتیکی G_2 و G_3 که به ترتیب سرعت نمو سطح برگ (سانتی‌متر مربع بر مترمربع در روز) و سرعت رشد غده (گرم بر مترمربع در روز) می‌باشند، با استفاده از داده‌های مزرعه‌ای سال اول آزمایش محاسبه و اصلاح شدند. سایر ضرایب ژنتیکی ارقام سیب زمینی که شامل P_2 و TC به ترتیب شروع غده-دهی با فتوپریود (بدون واحد)، شروع غده‌دهی با دما (درجه سانتی-گراد) بودند، با تغییر مقادیر این ضرایب به صورتی که صفات مورد اندازه‌گیری عملکرد دانه، بیشترین مقدار شاخص سطح برگ، کاشت تا گلده‌ی (روز) و کاشت تا رسیدگی (روز) با مقادیر شبیه‌سازی شده این صفات توسط مدل کمترین اختلاف را داشته باشند، برآورد گردید. به عبارت دیگر، با توجه به این که برای به دست آوردن دو ضریب P_2 و

جدول 1- ضرایب ژنتیکی ارقام مختلف مورد استفاده سیب زمینی در مدل رشد سیب زمینی
Table 1- Genetic coefficients of used potato varieties in the potato growth model

ارقام Varieties	P_2	TC	G_2	G_3
آگریا Agria	0.4	18	1550	20
سانته Sanneh	0.4	19	1600	22
آریندا Arinda	0.3	20	1800	25

و G_3 به ترتیب شروع غده‌دهی با فتوپریود (بدون واحد)، شروع غده‌دهی با دما (درجه سانتی‌گراد)، سرعت نمو سطح برگ (سانتی‌مترمربع بر مترمربع در روز) و سرعت رشد غده (گرم بر مترمربع در روز)

P_2 , TC, G_2 and G_3 : tuber initiation sensitivity to long photoperiods (no unit), critical temperature for tuber initiation ($^{\circ}$ C), leaf area expansion rate ($\text{cm}^2 \cdot \text{m}^{-2} \cdot \text{d}$) and tuber growth rate ($\text{g} \cdot \text{m}^{-2} \cdot \text{d}$), respectively.

مربعات خط، جذر میانگین مرבעات انحراف‌ها، کارایی مدل، خط 1:1 و رگرسیون خطی برای مقایسه نتایج مدل با واقعیت استفاده شد، که از روابط زیر محاسبه شدند (Nash & Sutcliffe, 1970; Nash & Sutcliffe, 1991; Loague & Green:

$$\text{RMSE-N} (\%) = \frac{100}{\bar{O}} \times \sqrt{\frac{\sum_{i=1}^n (P_i - O_i)^2}{n}} \quad (1)$$

$$\text{RMD} = \frac{100}{\bar{O}} \sum_{i=1}^n \frac{P_i - O_i}{n} \quad (2)$$

$$\text{ME} = \frac{\sum_{i=1}^n (O_i - \bar{O})^2 - \sum_{i=1}^n (P_i - O_i)^2}{\sum_{i=1}^n (O_i - \bar{O})^2} \quad (3)$$

P_i : مقادیر پیش‌بینی شده،

O_i : مقادیر اندازه گیری شده،

n : تعداد مشاهدات،

\bar{O} : میانگین داده‌های اندازه گیری شده.

شانص RMSE-N (%) میانگین فاصله مقادیر پیش‌بینی شده از مقادیر واقعی را به صورت درصد نشان داده، در صورتی که

تعیین اعتبار مدل گیاهی

در مدل‌های شبیه‌سازی فرآیندهای رشد، در گیاهان زراعی مقایسه بین مقادیر پیش‌بینی شده توسط مدل با مقادیر اندازه گیری شده (واقعی)، مرحله مهمی قبل از به کارگیری مدل در انجام مطالعات شبیه‌سازی است (Hoogenboom & Jones, 2010). در اکثر تحقیقات از روش‌ها و شاخص‌های گوناگونی برای واسنجی و تعیین اعتبار مدل‌ها استفاده شده است که می‌توان به جذر میانگین مربعات خط نرمال شده^۱ (RMSE-N^۱), جذر میانگین مربعات انحراف‌ها^۲ (RMSD^۲), رگرسیون خطی و ضریب تبیین (R^2), کارایی مدل^۳ (ME^۳), خط 1:1 و غیره اشاره کرد. در این تحقیق از جذر میانگین

1- Root mean squared error

2- Root mean squared deviation

3- Model efficiency

نشان داد که میزان عملکرد غده، حداکثر شاخص سطح برگ، روز تا گلدهی و روز تا رسیدگی بهترتبه با اختلاف $\pm 4/99$, $\pm 3/87$, $\pm 2/24$, $\pm 3/87$ درصد از داده‌های اندازه‌گیری شده توسط مدل، شبیه‌سازی شد (جدول ۲). نتایج اعتبارسنجی نشان داد که مدل SUBSTOR-potato صفت روز تا برداشت را با دقت بیشتری و عملکرد غده را با دقت کمتری نسبت به سایر صفات شبیه‌سازی نموده است، با این وجود، مقادیر شاخص RMSE نرمال شده برای تمام صفات کمتر از ۱۰ درصد محاسبه شد که بیانگر دقت و اطمینان مدل در شبیه‌سازی رشد و نمو گیاه سبز زمینی است (جدول ۲). با توجه به مقادیر پایین ME و RMD می‌توان بیان کرد که مدل تمام صفات مورد مطالعه را با دقت بالایی شبیه‌سازی نموده است. (جدول ۲)، با توجه به شاخص ME می‌توان به کارایی بالای مدل در شبیه‌سازی صفت روز تا رسیدگی در مقایسه با سایر صفات اشاره نمود. در مطالعه پوری (Yauri, 1997) و استاستنا و همکاران (Stastna et al., 2010) نیز به کارایی بالای مدل SUBSTOR-potato را در شبیه‌سازی رشد سبز زمینی بهترتبه برای شرایط آب و هوایی فریدون شهر دارد (جدول ۲). مقادیر محاسبه شده بر اساس شاخص RMSE-N (%)

میزان انحراف سیستماتیک مدل را نشان می‌دهد (Brisson et al., 2002). ME کارایی مدل را در رابطه با میانگین مشاهدات بیان می‌کند (Bannayan & Hoogenboom, 2008). مقدار مطلوب برای شاخص ME برابر یک می‌باشد و مقادیر منفی نشان دهنده انحراف زیاد در نتایج پیش‌بینی شده در مقایسه با مقادیر مشاهده شده را نشان می‌دهد. هرچه مقادیر (%) RMSE-N و RMD به صفر نزدیک‌تر باشد، نشان دهنده دقت بیشتر مدل می‌باشد. رگرسیون خطی نیز میزان همبستگی بین مقادیر پیش‌بینی شده و مشاهده شده را نشان داده و بیانگر دقت مدل است.

نتایج و بحث

تعیین اعتبار مدل SUBSTOR-potato

نتایج ارزیابی مدل SUBSTOR-potato براساس شاخص‌های آماری نشان داد که این مدل برآورد مناسبی برای پیش‌بینی صفات عملکرد غده، حداکثر شاخص سطح برگ، روز تا گلدهی و روز تا رسیدگی گیاه سبز زمینی در شرایط آب و هوایی فریدون شهر دارد (جدول ۲). مقادیر محاسبه شده بر اساس شاخص RMSE-N (%)

جدول ۲ - تعیین اعتبار مدل در شبیه‌سازی صفات مورد بررسی در سبز زمینه بر اساس شاخص‌های آماری RMSE-N، ME و RMD
Table 2- Validation of the model for simulation of the studied traits in potato based on statistical indexes as RMSE-N, ME and RMD

صفات Traits	مقادیر اندازه‌گیری شده Measured	مقادیر شبیه‌سازی شده Simulated	RMSE-N(%)	ME	RMD
عملکرد غده (تن در هکتار) (t.ha ⁻¹) Tuber yield	31.55	32.07	4.99	0.828	0.514
حداکثر شاخص سطح برگ (مترمربع)	4.56	4.69	3.53	0.447	2.653
Max LAI (m ²)					
روز تا گلدهی (روز) Days to anthesis (day)	58.44	57.89	3.87	0.875	0.00
روز تا رسیدگی (روز) Days to maturity (day)	120.22	121.04	2.24	0.958	0.092

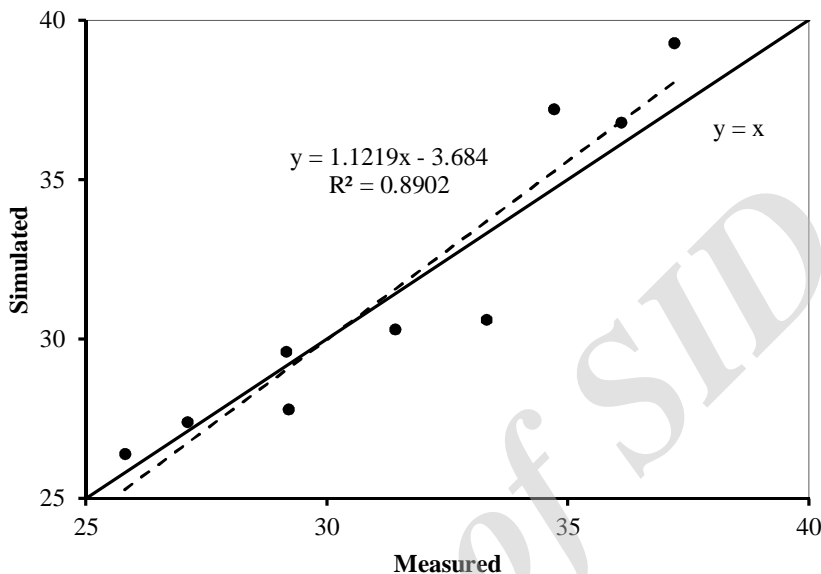
مدل مقدار این صفت را بیشتر از مقدار اندازه‌گیری شده برای آن شبیه‌سازی می‌نماید¹ (شکل ۲). بنابراین مقادیر شبیه‌سازی شده شاخص سطح برگ از مقادیر اندازه‌گیری شده بیشتر خواهد بود با توجه به ضریب تبیین بالا در تمام صفات مورد ارزیابی ($R^2 \geq 0.85$), می‌توان

مقایسه مقادیر مشاهده شده و پیش‌بینی شده صفات براساس خط ۱:۱ نیز نشان داد که مدل حداکثر شاخص سطح برگ را بیشتر از مقدار مشاهده شده شبیه‌سازی نموده، به طوری که تمام نقاط مربوط به حداکثر شاخص سطح برگ در بالای خط ۱:۱ قرار گرفته، به عبارتی قرار گرفتن نقاط در بالای خط ۱:۱ بیانگر این موضوع می‌باشد که

1- Overestimate

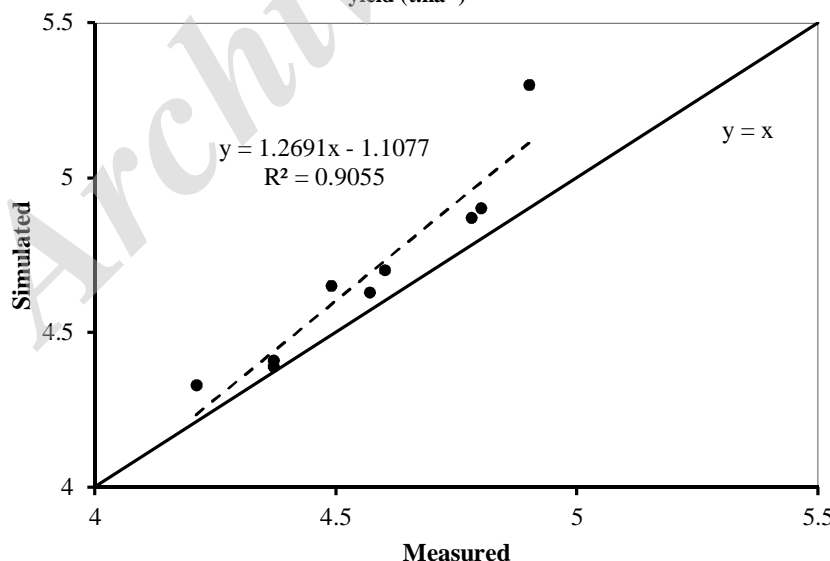
برداشت با ضریب تبیین ۰/۹۶ و کمترین همبستگی مربوط به صفت روز تا گلدهی با ضریب تبیین ۰/۸۸ بود (شکل ۱ تا ۴).

نتیجه گرفت که رابطه قابل قبول و معنی‌داری بین داده‌های اندازه-گیری شده و شبیه‌سازی شده وجود دارد. بیشترین همبستگی بین داده‌های اندازه‌گیری شده و شبیه‌سازی شده مربوط به صفت روز تا



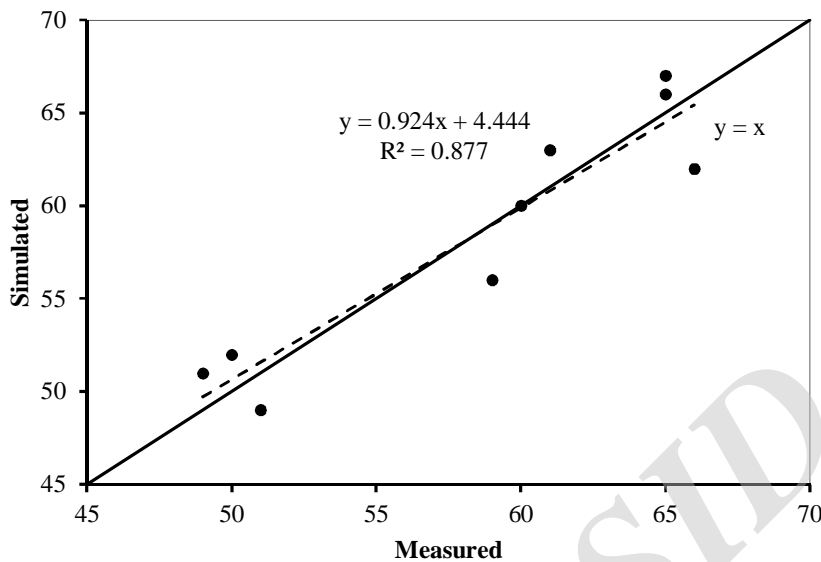
شکل ۱- مقایسه خط ۱:۱ و خط رگرسیون برآذش داده شده بین مقادیر اندازه‌گیری شده و پیش‌بینی شده برای عملکرد غده سیب زمینی (تن در هکتار)

Fig. 1- Comparison of the 1:1 line and the fitted regression line between the measured and predicted values for potato tuber yield ($t.ha^{-1}$)



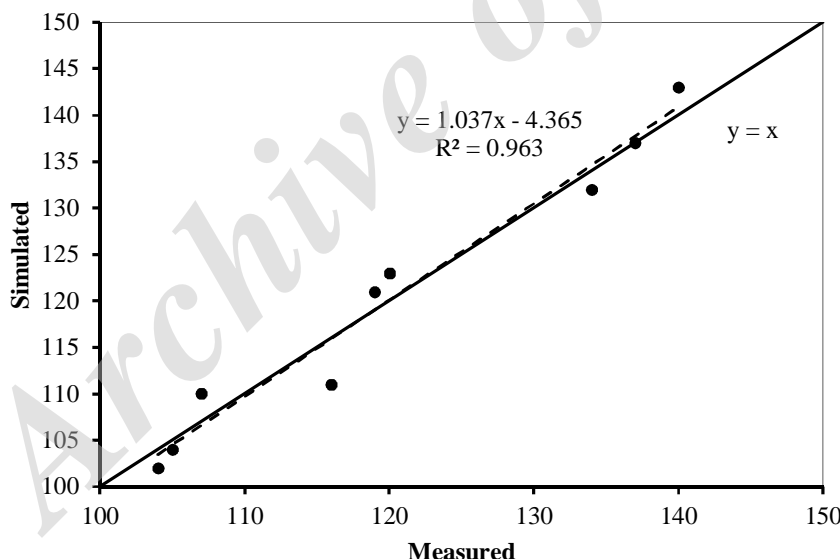
شکل ۲- مقایسه خط ۱:۱ و خط رگرسیون برآذش داده شده بین مقادیر اندازه‌گیری شده و پیش‌بینی شده برای حداقل شاخص سطح برگ

Fig. 2- Comparison of the 1:1 line and the fitted regression line between the measured and predicted values for maximum leaf area index



شکل ۳- مقایسه خط ۱:۱ و خط رگرسیون برازش داده شده بین مقادیر مشاهده شده و پیش‌بینی شده برای روز تا گلدهی

Fig. 3- Comparison of the 1:1 line and the fitted regression line between the measured and predicted values for days to anthesis (DTA)



شکل ۴- مقایسه خط ۱:۱ و خط رگرسیون برازش داده شده بین مقادیر مشاهده شده و پیش‌بینی شده برای روز تا رسیدگی

Fig. 4- Comparison of the 1:1 line and the fitted regression line between the measured and predicted values for days to maturity (DTM)

مورد بررسی شاخص سطح برگ نسبت به سال مینا کاهش خواهد یافت (جدول ۳). به دلیل افزایش درجه حرارت گیاهان به منظور کاهش تعرق سطح برگ خود را کاهش خواهند داد و همچنین در ماهای بالاتر از دمای اپتیموم، تنفس گیاه افزایش یافته و در نتیجه

اثر تغییر اقلیم بر رشد و نمو سیب زمینی
شاخص سطح برگ سیب زمینی
نتایج شبیه‌سازی نشان داد که شاخص سطح برگ در گیاه سیب زمینی تحت تأثیر تغییر اقلیم قرار خواهد گرفت و در تمام سناریوهای

دوره پایه برابر با 10/09 درصد و در مدل گردش عمومی IPCM₄ معادل 11/34 درصد برآورد گردید (شکل 5 و 6). در بین سناریوهای مختلف، در مدل گردش عمومی HadCM₃، سناریوی A₂ در مقایسه با سناریوهای A₁B و B₁ از حداکثر شاخص سطح برگ کمتری برخوردار خواهد بود (جدول 3)، بنابراین درصد کاهش حداکثر شاخص سطح برگ نسبت به دوره پایه (2012-1988) در این سناریو و در تمام سال‌ها بیشتر از دو سناریوی دیگر می‌باشد (شکل 5). در مدل گردش عمومی IPCM₄ نیز نتایج شبیه‌سازی، مشابه نتایج برآورد شده در مدل گردش عمومی HadCM₃ می‌باشد، به طوری‌که، در این مدل گردش عمومی نیز بیشترین درصد کاهش نسبت به دوره پایه در سناریوی A₂ شبیه‌سازی شد (شکل 6). به طور کلی، با توجه به یافته‌های به دست آمده در این مطالعه، می‌توان بیان داشت که در مدل گردش عمومی IPCM₄، تأثیر منفی تغییر قلیم آینده بر رشد و نمو سیب‌زمینی بیشتر از مدل گردش عمومی HadCM₃ خواهد بود (جدول 3).

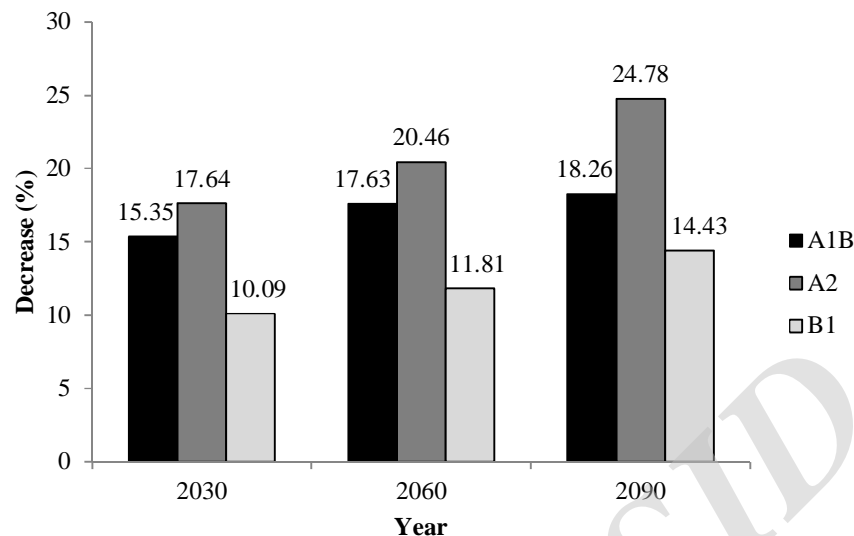
تولید و اختصاص مواد فتوستنتزی به برگ‌ها نیز کاهش می‌باید (Reddy & Hodges, 2000) در سال‌های آینده در تمام سناریوها و در هر دو مدل گردش عمومی، صفت حداکثر شاخص سطح برگ در گیاه سیب‌زمینی کاهش خواهد یافت که این کاهش در سناریوی B₁ به دلیل پیش‌بینی کمتر افزایش درجه حرارت (Adavi, 2014) نسبت به دو سناریوی دیگر در هر دو مدل گردش عمومی HadCM₃ و IPCM₄ کمتر خواهد بود (جدول 3) و این موضوع علت کاهش کمتر شاخص سطح برگ در این سناریو می‌باشد. در شرایط تغییر اقلیم آینده بیشترین کاهش در میزان حداکثر شاخص سطح برگ در هر دو مدل گردش عمومی، تحت سناریوی A₂ در سال 2090 اتفاق خواهد افتاد که میزان این کاهش، نسبت به دوره پایه (2012-1988) در مدل گردش عمومی HadCM₃ و IPCM₄ به ترتیب برابر با 24/78 و 27/52 درصد خواهد بود (شکل 5 و 6). کمترین کاهش شاخص سطح برگ نیز مربوط به سناریوی B₁ در سال 2030 می‌باشد. به طوری‌که در مدل گردش عمومی HadCM₃ درصد کاهش نسبت به

جدول 3- شبیه‌سازی میزان عملکرد غده، حداکثر شاخص سطح برگ، روز تا گله‌ی و روز تا رسیدگی سیب‌زمینی رقم آگریا بر اساس پیش‌بینی دو مدل گردش عمومی IPCM₄ و HadCM₃ تحت سناریوهای A₁B و A₂ در منطقه فریدون شهر اصفهان

Table 3- Simulation of tuber yield, maximum leaf area index, days to anthesis (DTA) and days to maturity (DTM) of Agriya variety based on the prediction of two general circulation model (GCM) HadCM₃ and IPCM₄ under A₁B, B₁ and A₂ scenarios in Feridونshahr region of Isfahan

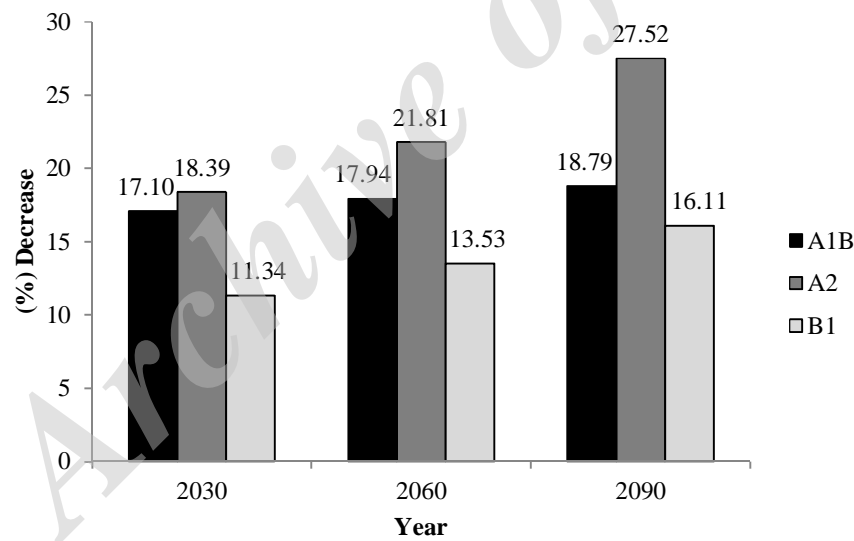
مدل گردش عمومی GCM	سناریو Scenario	Target yield سال هدف	حداکثر شاخص سطح برگ Max LAI				روز تا گله‌ی DTA	روز تا رسیدگی DTM	عملکرد غده (تن در هکتار) Tuber yield (t.ha ⁻¹)
			دوره پایه	4.57	65	137			
HadCM ₃	A ₁ B*	2030	3.87	62	133	24.18			
		2060	3.76	60	129	23.44			
		2090	3.74	59	127	23.23			
	A ₂	2030	3.76	60	129	23.44			
		2060	3.64	60	129	22.52			
		2090	3.44	58	125	21.13			
	B ₁	2030	4.11	60	129	25.88			
		2060	4.03	61	131	25.32			
		2090	3.91	61	131	24.48			
IPCM ₄	A ₁ B	2030	3.79	62	133	23.61			
		2060	3.75	59	127	23.34			
		2090	3.71	59	127	23.06			
	A ₂	2030	3.73	60	129	23.19			
		2060	3.57	58	125	22.09			
		2090	3.31	57	123	20.24			
	B ₁	2030	4.05	63	135	25.48			
		2060	3.95	62	133	24.77			
		2090	3.83	61	131	23.93			

*: تأکید بر هویت منطقه‌ای و حفظ آن‌ها، A₁B: تأکید در استفاده از انرژی‌های پاک محیط زیست و اقتصاد در سطح جهانی، B₁: تأکید بر استفاده متعادل از انواع منابع انرژی.
*A₂: Demonstrating and preserving regional identity, B₂: Emphasis on the use of clean environments and economies globally, A₁B: Emphasizing the balanced use of a variety of energy sources.



شکل ۵- درصد کاهش حداقل شاخص سطح برگ در شرایط تغییر اقلیم آینده نسبت به دوره پایه (1988-2012) تحت سناریوهای مختلف در مدل گردش عمومی HadCM_3

Fig. 5- Decrease percentage of maximum leaf area index in the future climate change conditions compared to the base period (1988-2012) under different scenarios in general circulation model HadCM_3



شکل ۶- درصد کاهش حداقل شاخص سطح برگ در شرایط تغییر اقلیم آینده نسبت به دوره پایه (1988-2012) تحت سناریوهای مختلف در مدل گردش عمومی IPCM_4

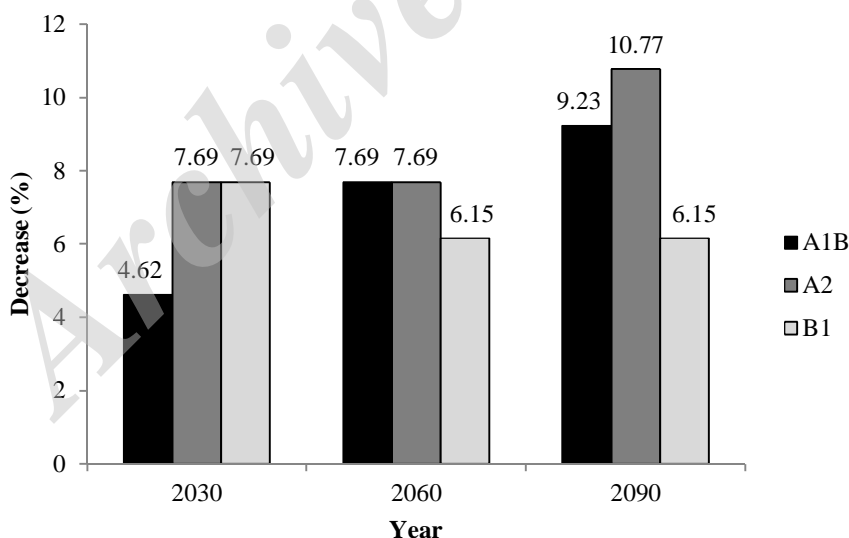
Fig. 6- Decrease percentage of maximum leaf area index in the future climate change conditions compared to the base period (1988-2012) under different scenarios in general circulation model IPCM_4

اقلیم نسبت به شرایط کنونی منطقه فربدون شهر کاهش خواهد یافت (جدول ۳). کمترین تعداد روز از زمان کاشت تا رسیدن به مرحله گله‌ی در گیاه سیب زمینی در دو سناریوی A₂ و A_{1B} در سال

تعداد روز از کاشت تا گله‌ی
تعداد روز از کاشت تا گله‌ی سیب زمینی در هر دو مدل گردش عمومی و سال‌های پیش‌بینی شده تحت سناریوهای مختلف تغییر

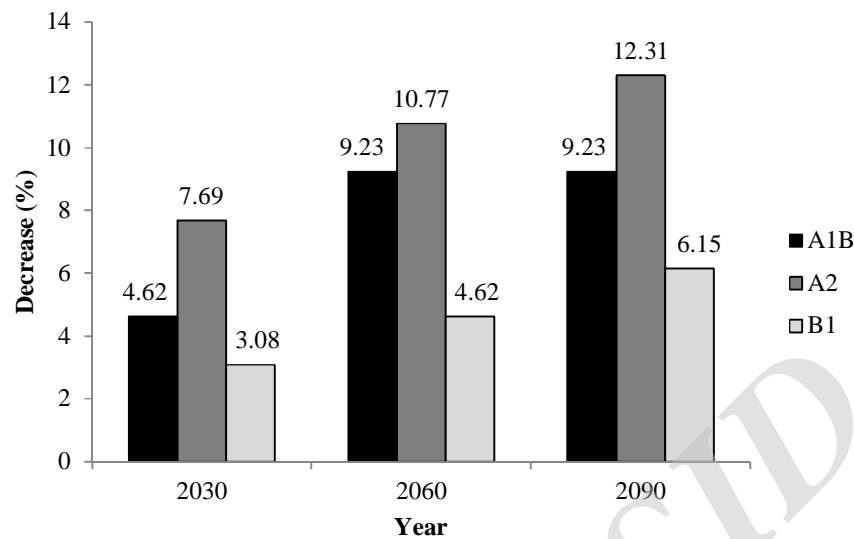
مشاهده پیش‌بینی تعداد روز تا گلدهی سیب‌زمینی در تمامی سناریوها (به جز سناریوی B₁ در مدل گرددش عمومی₃ (HadCM₃) و هر دو مدل گرددش عمومی نشان داد که در کلیه سناریوهای، با افزایش زمان، تعداد روز تا گلدهی در گیاه سیب زمینی کاهش خواهد یافت، به طوری که در سال 2090 میلادی تعداد روز تا گلدهی نسبت به سال 2030 و 2060 بیشترین کاهش را خواهد داشت (جدول ۳). در هر دو مدل گرددش عمومی، سناریوی A₂ و B₁ به ترتیب بیشترین و کمترین کاهش طول دوره رویشی را نشان دادند که با توجه به این که کاهش طول دوره رشد به دلیل کاهش مدت زمان استفاده از منابع احتمالاً منجر به کاهش عملکرد غده در گیاه سیب‌زمینی خواهد شد، بنابراین به نظر می‌رسد که به ترتیب کمترین و بیشترین عملکرد غده در سناریوهای مذکور مشاهده شود. در مطالعه مزا و همکاران (Meza et al., 2008) تأثیر تغییرات اقلیمی بر عملکرد و مراحل فنولوژیکی ذرت گزارش کردند که افزایش درجه حرارت باعث تسريع در مراحل فنولوژیکی و افزایش سرعت نمو ذرت شده است. همچنین بیان داشتند که در شرایط شبیه‌سازی شده تغییر اقلیم مقدار درجه روز-رشد (GDD) مورد نیاز برای تکمیل رشد گیاه در زمان کوتاه‌تری دریافت خواهد شد.

2090 در مدل گرددش عمومی₃ HadCM₃ (به ترتیب با 58 و 59 روز) مشاهده شد (جدول ۳). بر اساس این دو سناریو در مدل گرددش عمومی₃ HadCM₃، تعداد روز تا گلدهی سیب زمینی به ترتیب حدود 10/77 و 9/23 درصد نسبت به دوره پایه (1988-2012) در سال 2090 کاهش خواهد یافت (شکل ۷). در مدل گرددش عمومی IPCM₄ و 2060 به ترتیب با 57 و 58 روز شبیه‌سازی گردید (جدول ۳)، که به ترتیب کاهش 12/31 و 10/77 درصدی در تعداد روز تا گلدهی در مقایسه با شرایط کنونی را نشان می‌دهد (شکل 8). به طور کلی، نتایج شبیه‌سازی نشان داد که تعداد روز از کاشت تا گلدهی در منطقه فریدون شهر تحت تأثیر تغییرات اقلیمی پیش رو نسبت به وضعیت کنونی کاهش خواهد یافت (جدول ۳). به نظر می‌رسد دلیل اصلی این اتفاق، افزایش دمای هوا بین ۱ تا 5 درجه سانتی گراد (IPCC, 2007)، بر اساس سناریوهای مذکور باشد. افزایش دما منجر به تسريع در رشد گیاه شده و در نتیجه دوره گلدهی و رسیدگی در گیاهان کوتاه تر می‌شود، بنابراین کاهش طول فصل رشد و عملکرد گیاهان در اثر تغییر اقلیم جهانی و گرمایش زمین در آینده مورد انتظار است (Nassiri Mahallati et al., 2003).



شکل ۷- درصد کاهش تعداد روز از کاشت تا زمان گلدهی سیب زمینی در شرایط تغییر اقلیم آینده نسبت به دوره پایه (1988-2012) تحت سناریوهای مختلف در مدل گرددش عمومی₃ (HadCM₃)

Fig. 7- Decrease percentage of days to anthesis in the future climate change conditions compared to the base period (1988-2012) under different scenarios in general circulation model HadCM₃



شکل ۸- درصد کاهش تعداد روز از کاشت تا زمان گلدهی سبب زمینی در شرایط تغییر اقلیم آینده نسبت به دوره پایه (1988-2012) تحت سناریوهای مختلف در مدل گردش عمومی $IPCM_4$

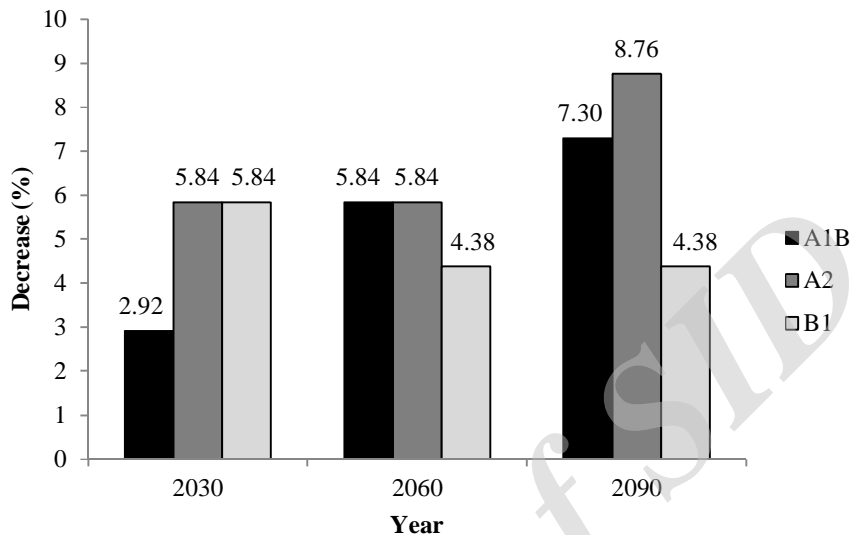
Fig. 8- Decrease percentage of days to anthesis in the future climate change conditions compared to the base period (1988-2012) under different scenarios in general circulation model $IPCM_4$

شبیه کند افزایش درجه حرارت در سناریوی B در شرایط تغییر اقلیم آینده نسبت به دو سناریوی دیگر نسبت داد (IPCC, 2007، 2004) که داده های اقلیمی شبیه سازی شده توسط مدل LARS-WG در منطقه (Adavi, 2014). فریدون شهر نیز موید این مطلب می باشد (Adavi, 2014). همان طور که اشاره شد، افزایش دما در شرایط تغییر اقلیم آینده منجر به تسريع مراحل نموی و در نتيجه موجب کاهش طول زمان رسیدگی (Koocheki & Nassiri Mahallati, 2009) در گیاهان می گردد (Koocheki & Nassiri Mahallati, 2009). افزایش درجه حرارت سرعت رشد و نمو محصولات زراعی را افزایش خواهد داد، با این حال نتایج برخی آزمایش ها نشان داده است که تحت این شرایط، طول دوره رسیدگی در گیاهان کوتاهتر خواهد شد که با نتایج شبیه سازی شده در این مطالعه مطابقت دارد (Parry et al., 2004). کوچکی و نصیری محلاتی در مطالعه ای ابراز داشتند که افزایش درجه حرارت در شرایط اقلیمی آینده، باعث کاهش قابل توجه Koocheki & Nassiri (Kiniiry, 2003). کاهش طول دوره رشد ذرت (Mahallati, 2009 Lawlor & Jones, 2004)، سویا (Mall & Aggarwal, 2004)، گندم (Jones Van Oijen & Ewert, ; Prasad et al., 2006; Mitchell, 2000 Prasad et al., 2006) نیز در مطالعات تغییر اقلیم (1999) و برنج (Prasad et al., 2006) نیز در مطالعات تغییر اقلیم گزارش شده است. مقایسه بین دو مدل گردش عمومی نیز نشان داد

تعداد روز از کاشت تا رسیدگی
تعداد روز از کاشت تا رسیدگی فیزیولوژیکی نیز براساس پیش بینی مدل های گردش عمومی و تحت سناریوهای مورد مطالعه نسبت به شرایط کنونی کاهش یافت که دامنه این کاهش از ۲/۹۲ تا ۸/۷۶ درصد برای مدل $HadCM_3$ و بین ۱/۴۶ تا ۱۰/۲۲ درصد برای مدل $IPCM_4$ متغیر بود (جدول ۳). بیشترین میزان کاهش مرحله رسیدگی نسبت به شرایط کنونی در هر دو مدل گردش عمومی $IPCM_4$ و $HadCM_3$ تحت سناریوی A_2 در سال 2090 (به ترتیب با ۱۲۵ و ۱۲۳ روز) مشاهده شد که درصد این کاهش به ترتیب ۸/۷۶ و ۱۰/۲۲ درصد محاسبه شد (شکل ۹ و ۱۰). نتایج نشان داد که با گذشت زمان در آینده، دوره رشد سبب زمینی تقریباً در کلیه سناریوها و هر دو مدل کاهش خواهد یافت، به طوری که سال 2090 نسبت به سال های 2060 و 2030 کمترین طول دوره رشد را خواهد داشت (جدول ۳). در بین سناریوهای مورد بررسی نیز، سبب زمینی در سناریوی B_1 در مقایسه با سایر سناریوهای از طول دوره رشد برخوردار خواهد بود، با این وجود در این سناریو نیز طول دوره رشد سبب زمینی در مقایسه با دوره پایه (1988-2012) کاهش خواهد یافت (جدول ۳). بیشتر بودن تعداد روز از کاشت تا زمان رسیدگی فیزیولوژیک در سناریوی B_1 در مقایسه با A_1B و A_2 را می توان به

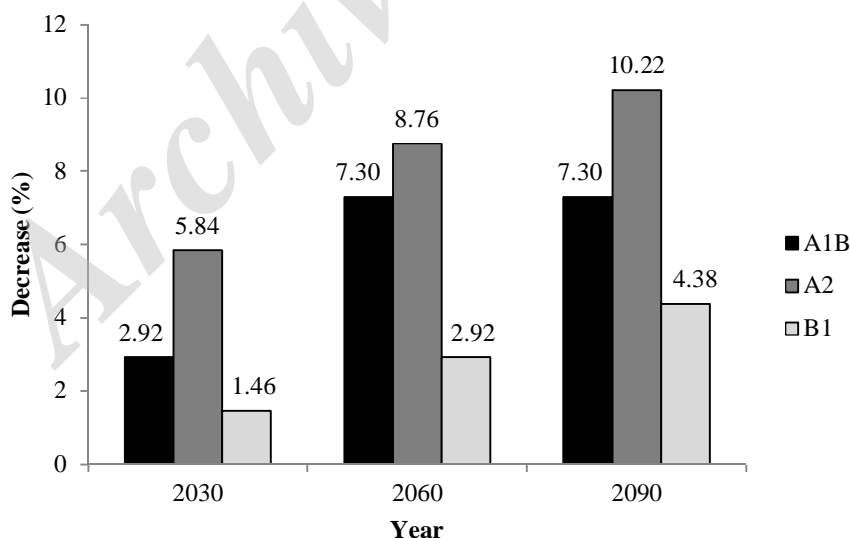
سناریوهای و زمان‌ها کوتاه‌تر خواهد بود (جدول ۳).

که در مدل گردش عمومی $IPCM_4$ طول فصل رسیدگی در گیاه سبب زمینی نسبت به مدل گردش عمومی $HadCM_3$ در اکثر



شکل ۹- درصد کاهش تعداد روز از کاشت تا رسیدگی سبب زمینی در شرایط تغییر اقلیم آینده نسبت به دوره پایه (1988-2012) تحت سناریوهای مختلف در مدل گردش عمومی $HadCM_3$

Fig. 9- Decrease percentage of days to maturity in the future climate change conditions compared to the base period (1988-2012) under different scenarios in general circulation model $HadCM_3$



شکل ۱۰- درصد کاهش تعداد روز از کاشت تا رسیدگی سبب زمینی در شرایط تغییر اقلیم آینده نسبت به دوره پایه (1988-2012) تحت سناریوهای مختلف در مدل گردش عمومی $IPCM_4$

Fig. 10- Decrease percentage of days to maturity in the future climate change conditions compared to the base period (1988-2012) under different scenarios in general circulation model $IPCM_4$

خواهد یافت. این محققان در مطالعه خود میزان افزایش غلظت دی اکسید کربن را تحت دو سناریوی A_1F و B_1 به ترتیب 489 و 593 میلی‌گرم بر کیلوگرم در مدل گردش عمومی $HadCM_3$ در نظر گرفته‌اند، در صورتی که غلظت دی اکسید کربن در سال مینا را حدود 330 مدنظر قرار دادند.

سناریوی A_2 در هر دو مدل گردش عمومی برای سال 2090 نیز کمترین عملکرد غده 21/13 تن در هکتار برای مدل گردش عمومی $HadCM_3$ و 20/24 تن در هکتار برای مدل گردش عمومی $IPCM_4$ (IPCM₄) را بر اساس پیش‌بینی‌ها برای شرایط اقلیمی آینده در منطقه فریدون شهر نشان داد که به ترتیب کاهش 27/53 و 30/58 درصدی عملکرد غده سیب زمینی را در مقایسه با دوره پایه (1988-2012) در پی خواهد داشت (شکل‌های 11 و 12). به طور کلی، نتایج نشان داد که سناریوی B_1 در مدل گردش عمومی $HadCM_3$ و $IPCM_4$ نسبت به دیگر سناریوها دارای کمترین کاهش عملکرد در مقایسه با شرایط کنونی (1988-2012) خواهد بود و بیشترین کاهش عملکرد نیز در سناریوی A_2 پیش‌بینی شد (جدول 3). نتایج شبیه‌سازی همچنین حاکی از آن است که در طی زمان‌های آینده میزان کاهش عملکرد غده سیب زمینی افزایش می‌یابد، به نحوی که در تمام سناریوهای مورد مطالعه، سال 2090 از کمترین عملکرد غده برخوردار خواهد بود، به طوری که در سناریوهای A_1B , A_2 , B_1 به ترتیب کاهش 20/29, 20/53 و 16/04 درصدی عملکرد غده را نسبت به دوره پایه (1988-2012) برای مدل گردش عمومی $HadCM_3$ (شکل 11) و کاهش 20/88, 30/58 و 17/90 درصدی برای مدل گردش عمومی $IPCM_4$ پیش‌بینی شده است (شکل 12).

کاهش عملکرد سیب‌زمینی در سناریوهای مختلف تغییر اقلیم در منطقه فریدون شهر را می‌توان به افزایش درجه حرارت در این منطقه نسبت داد، به طوری که شبیه‌سازی داده‌های اقلیمی در این منطقه نشان داد که در سناریوهای مختلف در هر دو مدل گردش عمومی، با گذشت زمان، دمای منطقه افزایش می‌یابد (Adavi, 2014). این موضوع به نوبه خود با تأثیر بر مراحل نموی و فتوستنتز گیاه بر میزان عملکرد غده سیب‌زمینی اثر منفی می‌گذارد. افزایش دما علاوه بر کاهش طول دوره رشد، منجر به افزایش تنفس در گیاهان خواهد شد و در نتیجه کاهش تولید مواد فتوستنتزی و کاهش عملکرد گیاهان را به دنبال خواهد داشت (Kafi et al., 2009).

عملکرد غده

نتایج شبیه‌سازی نشان داد که عملکرد غده سیب زمینی در شرایط تغییر اقلیم در منطقه فریدون شهر کاهش خواهد یافت. به‌طوری که این صفت تحت تاثیر سناریوهای مورد بررسی (A_1B و B_1) برای هر دو مدل گردش عمومی و در تمامی سال‌های مورد ارزیابی در این آزمایش، نسبت به شرایط کنونی کاهش نشان داد. میزان کاهش عملکرد غده در شرایط اقلیمی آینده نسبت به دوره پایه (1988-2012) میلادی) بین 11/21 تا 27/53 درصد برای مدل گردش عمومی $HadCM_3$ و از 12/60 تا 30/58 درصد برای مدل گردش عمومی $IPCM_4$ متغیر بود (شکل‌های 11 و 12). در مدل گردش عمومی $IPCM_4$ سناریوی B_1 در سال 2030 میلادی $HadCM_3$ و $IPCM_4$ نیز بیشترین کاهش 25/48 و 25/48 تن غده در هکتار، کمترین اختلاف را با شرایط کنونی (2012-1988) (Holden et al., 2003) بین 29/15 تا 29/27 تن غده در هکتار داشت (جدول 3). میزان کاهش عملکرد در این سناریو، نسبت به شرایط کنونی (1988-2012) حدود 11/21 درصد خواهد بود (شکل 11). در مدل گردش عمومی $IPCM_4$ نیز بیشترین عملکرد غده با عملکردی معادل 25/48 تن در هکتار تحت تاثیر سناریوی B_1 در سال 2030 شبیه‌سازی شد (جدول 3) که درصد کاهش عملکرد غده آن در مقایسه با دوره پایه (1988-2012) برابر 12/60 درصد خواهد بود (شکل 12).

Holden و همکاران (Holden et al., 2003) نیز اثر تغییرات اقلیمی را بر عملکرد غده سیب‌زمینی برای دوره زمانی 2055 و 2075 شبیه‌سازی کرده‌اند و کاهش عملکرد سیب‌زمینی تحت شرایط تغییر اقلیمی آینده را گزارش نموده‌اند. این پژوهشگران برای ارزیابی اثر تغییر اقلیم بر میزان عملکرد سیب‌زمینی از مدل گردش عمومی $HadCM_3$ استفاده کردند و سناریوی تغییر اقلیم در مطالعه خود را بر مبنای افزایش 1/6 درجه‌سانتی‌گراد شبیه‌سازی نمودند.

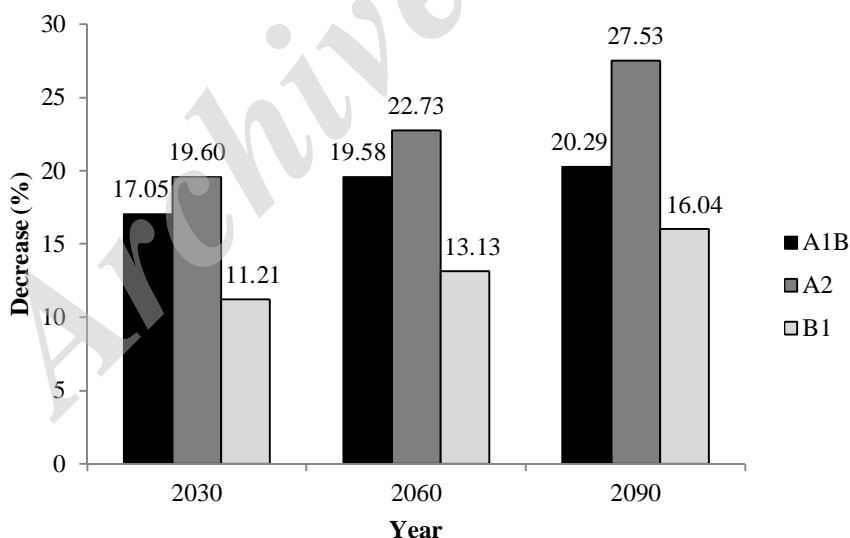
نکته مهمی که در مطالعات تغییر اقلیم و تأثیر آن بر میزان عملکرد گیاهان زراعی بایستی مد نظر داشت توجه به تأثیر افزایش دی اکسید کربن می‌باشد، به طوری که در مطالعاتی که میزان افزایش غلظت دی اکسید کربن در شبیه‌سازی تغییرات اقلیم در آینده مدنظر قرار گرفته، نتایج متفاوتی گزارش شده است. Fabeiro و همکاران (Fabeiro et al., 2001) با بررسی تغییرات اقلیمی تا سال 2050 بر عملکرد سیب‌زمینی در انگلستان گزارش کردند که عملکرد غده در مناطق مختلف انگلستان از 6/2 تا 9/2 درصد نسبت به دوره پایه افزایش

الکساندرو و هوگنبووم (Alexandrov & Hoogenboom, 2000) کاهش طول دوره رشد در گیاهان را به عنوان یکی از مهم‌ترین عوامل کاهش عملکرد گیاهان در شرایط تغییر اقلیم آینده بیان کردند. بر اساس نتایج شبیه‌سازی در این تحقیق نیز به نظر می‌رسد افزایش دما تحت سناریوهای مورد بررسی بر طول فصل رشد و مرحله گلدهی سبیززمینی تأثیر منفی گذاشته و از این طریق منجر به کاهش ۳۰/۵۸ درصدی عملکرد سبیززمینی (شکل‌های ۱۱ و ۱۲) تحت تأثیر سناریوها و مدل‌های گردش عمومی مختلف شده است.

نتیجه‌گیری

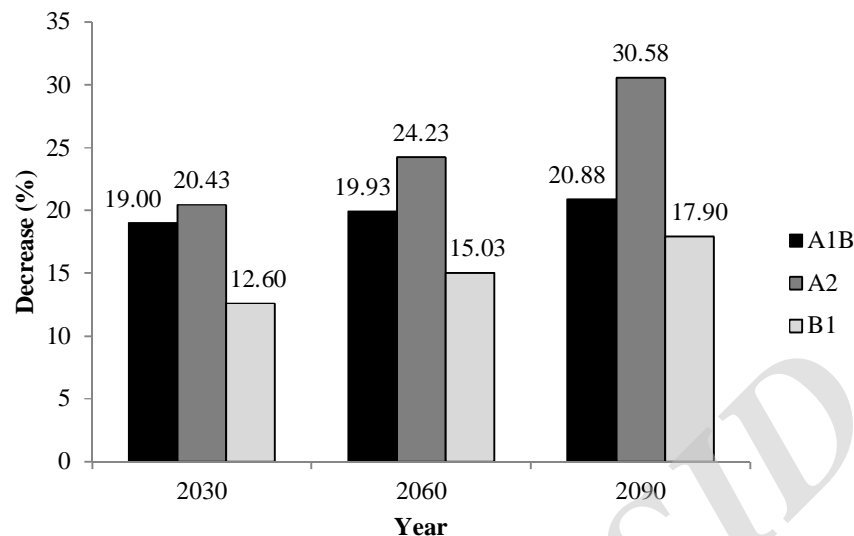
نتایج ارزیابی مدل SUBSTOR-potato نشان داد که مدل برآورد قابل قبولی ($\text{RMSE} \leq 10$) برای پیش‌بینی عملکرد غده، حداکثر شاخص سطح برگ، روز تا گلدهی و روز تا رسیدگی فیزیولوژیکی گیاه سبیززمینی در شرایط آب و هوایی فریدون شهر دارا می‌باشد.

های اقلیمی منطقه نشان داد که سناریوی B در هر دو مدل گردش عمومی از افزایش دمای کمتری نسبت به دو سناریوی دیگر برخوردار خواهد بود (Adavi, 2014) که این موضوع کاهش کمتر عملکرد غده سبیززمینی در این سناریو را منجر خواهد شد. در چنین شرایط علاوه بر طول فصل رشد بیشتر که منجر به استفاده و بهره‌برداری بیشتر از منابع تولید می‌شود، میزان افزایش تنفس گیاه نیز به دلیل درجه حرارات کمتر در این سناریو نسبت به سناریوهای دیگر کمتر خواهد بود. کربنل-بوچلو و همکاران (Carbonell-Bojollo et al., 2001) تأیید کردند که افزایش درجه حرارت بیشترین تأثیر را بر مرحله گلدهی گیاهان داشته و با کاهش درصد و دوره تلقیح گل، منجر به کاهش عملکرد گیاهان می‌شود. ایشان همچنین اشاره کردند که افزایش دو درجه سانتی‌گراد دما باعث کاهش دوره گلدهی در گیاه ذرت از ۱۰ به ۸ روز شده که تأثیر بهسزایی در کاهش تعداد دانه تشکیل شده و عملکرد ذرت داشته است. شواهد موجود نشان دهنده این است که کاهش طول دوره پر شدن دانه ناشی از افزایش درجه حرارت مهم‌ترین عامل کاهش عملکرد گیاهان زراعی در شرایط تغییر اقلیم می‌باشد (Challinor et al., 2007; Asseng et al., 2009).



شکل ۱۱- درصد کاهش عملکرد غده سبیززمینی در شرایط تغییر اقلیم آینده نسبت به دوره پایه (1988-2012) تحت سناریوهای مختلف در مدل گردش عمومی HadCM₃

Fig. 11- Decrease percentage of potato tuber yield in the future climate change conditions compared to the base period (1988-2012) under different scenarios in general circulation model HadCM₃



شکل ۱۲- درصد کاهش عملکرد غده سبب‌زمینی نسبت به دوره پایه (1988-2012) در شرایط تغییر اقلیم آینده تحت سناریوهای مختلف در مدل گردش عمومی $IPCM_4$

Fig. 12- Decrease percentage of potato tuber yield in the future climate change conditions compared to the base period (1988-2012) under different scenarios in general circulation model $IPCM_4$

به طور کلی، نتایج نشان داد که تعداد روز مورد نیاز از کاشت تا گله‌ی و همچنین زمان رسیدگی سبب‌زمینی در منطقه فریدون شهر تحت تأثیر تغییرات اقلیمی آینده نسبت به وضعیت کنونی کاهش خواهد یافت که دلیل اصلی این کاهش، افزایش درجه حرارت برابساز سناریوهای مختلف بین ۱/۱ تا ۵/۴ درجه سانتی‌گراد) و در نتیجه افزایش سرعت رشد گیاه در شرایط تغییر اقلیمی آینده می‌باشد.

نتایج شبیه‌سازی نشان داد که در تمام سناریوهای مورد بررسی، عملکرد سبب‌زمینی تحت تأثیر تغییر اقلیم آینده نسبت به دوره مبنای کاهش خواهد یافت، به طوری که بیشترین کاهش عملکرد غده در سناریوی A₂ و در سال 2090 برای هر دو مدل گردش عمومی $IPCM_4$ و $HadCM_3$ شبیه‌سازی شد. میزان کاهش عملکرد غده در سناریوی B نسبت به دو سناریوی دیگر کمتر بود و سناریوی A₂ نیز بیشترین کاهش عملکرد را در تغییر اقلیم آینده نشان داد.

منابع

- Afzali Nya, B. 2006. Agronomy Potato. Publications of Agriculture Organization, Jiroft, Iran. (In Persian)
- Alexandrov, V.A., and Hoogenboom, G. 2000. The impact of climate variability and change crop yield in Bulgaria. Agricultural Forest Meteorology 104: 315-327.
- Asseng, S., Jamieson, P.D., Kimball, B., Pinter, P., Sayre, K., Bowden, J.W., and Howden, S.M. 2004. Simulated wheat growth affected by rising temperature, increased water deficit and elevated atmospheric CO₂. Field Crops Research 85: 85-102.
- Bannayan, M., and Hoogenboom, G. 2008. Weather analogue: A tool for real-time prediction of daily weather data realizations based on a modified k-Nearest neighbor approach. Environment Model Software 3: 703-713.
- Brisson, N., Gary, C., Justes, E., Roche, R., Mary, B., Riponche, D., Zimmer, D., Sierra, J., Bertuzzi, P., Burger, P., Bussiere, F., Cabidoche, Y.M., Cellier, P., Debaeke, P., Gaudillere, J.P., Henault, C., Maraux, F., Seguin, B., and Sinoquet, H. 2002. An overview of the crop model STICS. European Journal of Agronomy 18: 309-332.
- Carbonell-Bojollo, R., González-Sánchez, E.J., Verón-González, O., and Ordóñez-Fernández, R. 2011. Soil management systems and short term CO₂ emissions in a clayey soil in southern Spain. Science of the Total Environment 409: 2929-2935.

- Challinor, A.J., and Wheeler, T.R. 2008. Crop yield reduction in the tropics under climate change: Processes and uncertainties. *Agricultural and Forest Meteorology* 148: 343-356.
- Daccache, A., Weatherhead, E.K., Stalham, M.A., and Knox, J.W. 2011. Impacts of climate change on irrigated potato production in a humid climate. *Agricultural and Forest Meteorology* 151: 1641-1653.
- Fabeiro, C., Olalla, F., and de Juan, J.A. 2001. Yield and size of deficit irrigated potatoes. *Agriculture Water Management* 48: 255-266.
- Fischer, G., Frohberg, K., Parry, M.L., and Rosenzweig, C. 1994. Climate change and world food supply, demand and trade: who benefits, who loses? *Global Environmental Change* 4(1): 7-23.
- Goudriaan, J., and Van Laar, H.H. 1994. Modelling Potential Crop Growth Processes. Textbook with exercises. Kluwer Academic Publishers, Dordrecht, the Netherlands.
- Hodges, T., and Ritchie, J.T. 1991. The CERES-Wheat Phenology Model. p. 133-141. In T. Hodges (Ed.) *Predicting Crop Phenology*. CRC Press, Boca Raton, FL.
- Holden, N.M., Brereton, A.J., Fealy, R., and Sweeney, J. 2003. Possible change in Irish climate and its impact on barley and potato yields. *Agricultural and Forest Meteorology* 116: 181-196.
- Hoogenboom, G., Jones, J.W., Wilkens, P.W., Porter, C.H., Boote, K.J., Hunt, L.A., Singh, U., Lizaso, J.I., White, J.W., Uryasev, O., Royce, F.S., Ogoshi, R., Gijsman, A.J., and Tsuji, G.Y. 2010. Decision Support System for Agrotechnology Transfer (DSSAT), University of Hawaii, Honolulu, Hawaii, USA.
- IPCC. 2007. Summary for Policy Makers. *Climate Change 2007: The Physical Science Basis. Contribution of Working Group I to the Fourth Assessment Report*. Cambridge University Press, Cambridge.
- Jones, C.A., and Kiniry, J.R. 2003. CERES-Maize: A Simulation Model of Maize Growth and Development Texas A&M University Press, College Station, TX, USA.
- Jones, J.W., Hoogenboom, G., Porter, C.H., Boote, K.J., Batchelor, W.D., Hunt, L.A., Wilkens, P.W., Singh, U., Gijsman, A.J., and Ritchie, J.T. 2003. The DSSAT cropping system model. *European Journal of Agronomy* 18: 235-265.
- Kafi, M., Zand, A., Kamkar, B., Mahdavi Damghani, A.M., Abbasi, F., and Sharifi, H. 2009. *Plant Physiology*. University of Mashhad Publication, Mashhad, Iran. (In Persian)
- Koocheki, A., and Nassiri Mahallati, M. 2009. Impact of climate change with increasing CO₂ concentration on wheat yield in Iran and evaluation of adaptation strategies. *Iranian Journal of Agricultural Research* 6: 139-153. (In Persian with English Summary)
- Koocheki, A., Soltani, A., Sharifi, H., and Kamali, G.A. 2002. The effects of climate change on growth, development and yield of sunflower and pea Tabriz irrigated and rainfed conditions. *Agricultural Science and Technology* 15(1): 155-164. (In Persian with English Summary)
- Krishnan, P., Swain, D.K., Chandra Bhaskar, B., Nayak, S.K., and Dash, R.N. 2007. Impact of elevated CO₂ and temperature on rice yield and methods of adaptation as evaluated by crop simulation studies. *Agriculture, Ecosystems and Environment* 122: 233-242.
- Lawlor, D.W., and Mitchell, R.A.C. 2000. *Crop Ecosystem Responses to Climatic Change: Wheat*. Climate Change and Global Crop Productivity (Eds Reddy, K.R. & Hodges, H.F.), 57-80. CAB International, Cambridge.
- Loague, K., and Green, R.E. 1991. Statistical and graphical methods for evaluating solute transport models: Overview and application. *Journal of Contam Hydrology* 7: 51-73.
- Mall, R.K., and Aggarwal, P.K. 2002. Climate change and rice yields in diverse agro-environments of India. I. Evaluation of impact assessment models. *Climate Change* 52: 315-330.
- Mera, R.J., Niyogi, D., Buol, G.S., Wilkerson, G.G., and Semazzi, F.H.M. 2006. Potential individual versus simultaneous climate change effects on soybean (C₃) and maize (C₄) crops: An agrotechnology model based study. *Global and Planetary Change* 54: 163-182.
- Meza, F.J., Silva, D., and Vigil, H. 2008. Climate change impacts on irrigated maize in Mediterranean climates: Evaluation of double cropping as an emerging adaptation alternative. *Agricultural Systems* 98: 21-30.
- Moradi, R., Koocheki, A., and Nassiri Mahallati, M. 2014. Adaptation of maize to climate change impacts in Iran. *Mitigation and Adaptation Strategies for Global Change* 19: 1223-1238.
- Nash, J.E., and Sutcliffe, J.V. 1970. River flow forecasting through conceptual models. Part I: A discussion of principles. *Journal of Hydrology* 10: 282-290.
- Nassiri Mahallati, M., Koocheki, A., and Rezvani Moghaddam, P. 2003. The Effect of Global Climate Change on

Agricultural Production. University of Mashhad Publication, Mashhad, Iran. (In Persian)

Parry, M., Rosenzweig, C., Inglesias, A., Livermore, M., and Gischer, G. 2004. Effects of climate change on global food production under SRES emissions and socio-economic scenarios. *Global Environmental Change* 14: 53-67.

Prasad, P.V.V., Boote, K.J., Allen, L.H., Sheehy, J.E., and Thomas, J.M.G. 2006. Species, ecotype and cultivar differences in spikelet fertility and harvest index of rice in response to high temperature stress. *Field Crops Research* 95: 398-411.

Rahmani, M., Jami Alahmadi, M., Shahidi, A., and Hadizadeh Azghandi, N. 2015. Effect of climate change on the growth stages of the growth and water requirements of wheat and barley (Case Study: Birjand Plain). *Journal of Agroecology* 7(4): 443-460. (In Persian with English Summary)

Reddy, K.R., and Hodges, H.F. 2000. Climate Change and Global Crop Productivity. CABI International, Cambridge.

Reidsma, P., Ewert, F., Lansink, A.O., and Leemans, R. 2010. Adaptation to climate change and climate variability in European agriculture: The importance of farm level responses. *European Journal of Agronomy* 32: 91-102

Sadr Gaen, S.H., Nakhjavani Moghaddam, H., and Baghani, J. 2011. Effect of spacing and different levels of water on potato yield in drip irrigation method (type) in Firouzkouh. *Journal of Irrigation and Drainage* 1: 99-108. (In Persian with English Summary)

Salinger, M.J. 2005. Climate variability and change: past, present and future- an overview. *Climate Change* 70: 9-29.

Stastna, M., Toman, F., and Dufkova, J. 2010. Usage of SUBSTOR model in potato yield prediction. *Agricultural Water Management* 2: 286-290.

Van Oijen, M., and Ewert, F. 1999. The effects of climatic variation in Europe on the yield response of spring wheat cv. Minaret to elevated CO₂ and O₃: an analysis of open-top chamber experiments by means of two crop growth simulation models. *European Journal of Agronomy* 10: 249-264.

Wolf, J., Adger, W., Lorenzoni, I., Abrahamson, V., and Raine, R. 2010. Social capital, individual responses to heat waves and climate change adaptation: An empirical study of two UK cities. *Global Environmental Change* 20: 44-52.

Yauri, H. 1997. Validation de un modelo para similar el crecimiento del cultivo de papa. PhD dissertation, Universidad Nacional Agraria. La Molina. Peru.